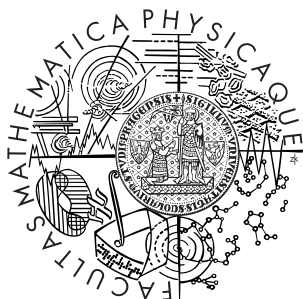


Univerzita Karlova v Praze  
Matematicko-fyzikální fakulta

## BAKALÁŘSKÁ PRÁCE



Róbert Pathó

### Analýza citlivosti při řešení soustav lineárních algebraických rovnic

Katedra numerické matematiky

Vedoucí bakalářské práce: Prof. RNDr. Jaroslav Haslinger, DrSc.  
Studijní program: Matematika, obecná matematika

2007

Rád bych poděkoval vedoucímu bakalářské práce, Prof. RNDr. Jaroslavovi Haslingerovi, DrSc. za pravidelné čtení stávajícího se textu, užitečné připomínky a za věnovaný čas vůbec. Vřelý dík dále patří mému bratrovi a rodičům za podporu při psaní práce.

Prohlašuji, že jsem svou bakalářskou práci napsal(a) samostatně a výhradně s použitím citovaných pramenů. Souhlasím se zapůjčováním práce a jejím zveřejňováním.

V Praze dne 4.8.2007

Róbert Pathó

# Obsah

1 Analýza citlivosti	5
2 Projekce v Hilbertových prostorech	10
3 Nalezení optimálního dělení	16
4 Numerické experimenty	24
Literatura	38

Název práce: Analýza citlivosti při řešení soustav lineárních algebraických rovnic

Autor: Róbert Pathó

Katedra (ústav): Katedra numerické matematiky

Vedoucí bakalářské práce: Prof. RNDr. Jaroslav Haslinger, DrSc.

e-mail vedoucího: [hasling@karlin.mff.cuni.cz](mailto:hasling@karlin.mff.cuni.cz)

Abstrakt: V první části práce studujeme řešení soustavy lineárních algebraických rovnic závisející na parametru. Ukážeme, že za jistých předpokladů je řešení spojité diferencovatelné vzhledem k tomuto parametru a odvodíme vztah pro výpočet její směrové derivaci. Cílem je tyto poznatky aplikovat na úlohu, ve kterém aproximujeme danou funkci v prostoru  $L^2$ , resp.  $W^{1,2}$  na intervalu  $(a, b)$  po částech lineárními funkcemi: snažíme se najít optimální dělení intervalu při pevném počtu dělících uzlů. Numerickými experimenty zjišťujeme vliv dělení intervalu na chybu aproximace a řád konvergence.

Klíčová slova: soustava lineárních rovnic závisející na parametru, ortogonální projekce, po částech lineární approximace

Title: Sensitivity analysis in systems of linear algebraic equations

Author: Róbert Pathó

Department: Department of Numerical Mathematics

Supervisor: Prof. RNDr. Jaroslav Haslinger, DrSc.

Supervisor's e-mail address: [hasling@karlin.mff.cuni.cz](mailto:hasling@karlin.mff.cuni.cz)

Abstract: In the first part of the thesis we show, that under certain conditions, the solution of a system of linear algebraic equations depending on a parameter is a continuously differentiable function of that parameter. We also derive a formula for computing directional derivatives. Our main goal is then to apply these results to the approximation of a given function in  $L^2$ , resp.  $W^{1,2}$  in  $(a, b)$  by piecewise linear functions. Namely, we try to find a partition of the interval  $(a, b)$  that is optimal in a particular sense. Numerical experiments show the effect of found partitions on the approximation error and the rate of convergence.

Keywords: system of linear equations depending on a parameter, orthogonal projection, piecewise linear approximation

# Kapitola 1

## Analýza citlivosti

**Motivace.** Každou soustavu  $n$  lineárních rovnic s  $n$  neznámými lze zapsat ve tvaru:

$$\mathbf{A}x = f,$$

kde  $\mathbf{A} \in \mathbb{R}^{n \times n}$  je matice soustavy a  $f \in \mathbb{R}^n$  je vektor pravé strany.

Budeme uvažovat soustavu lineárních algebraických rovnic takovou, ve které matice soustavy a pravá strana závisí na parametru  $\alpha \in U$ , kde  $U \subset \mathbb{R}^d$  je neprázdná, otevřená množina:

$$\mathbf{A}(\alpha)x_\alpha = f(\alpha) \quad (1.1)$$

Symbolem  $x_\alpha$  jsme označili řešení soustavy (1.1) příslušné hodnotě parametru  $\alpha$ . V dalším se nejdřív budeme věnovat diferencovatelnosti zobrazení  $x(\alpha) := x_\alpha$  podle tohoto parametru (zatím nevíme ani to, zda je to dobře definované zobrazení!).

**Věta 1.1.** Bud'  $U \subset \mathbb{R}^d$  neprázdná otevřená množina, dále nechť maticová funkce  $\mathbf{A} : U \rightarrow \mathbb{R}^{n \times n}$  a vektorová funkce  $f : U \rightarrow \mathbb{R}^n$  splňují následující podmínky:

- (i)  $\forall \alpha \in U : \mathbf{A}(\alpha)$  je regulérní;
- (ii)  $\mathbf{A} \in C^1(U; \mathbb{R}^{n \times n})$ ,  $f \in C^1(U; \mathbb{R}^n)$ .

Potom existuje funkce  $x : U \rightarrow \mathbb{R}^n$  splňující:

$$\mathbf{A}(\alpha)x(\alpha) = f(\alpha) \quad \forall \alpha \in U, \quad (1.2)$$

která je navíc spojite diferencovatelná na  $U$  vzhledem k parametru  $\alpha$  a pro směrovou derivaci  $x'(\alpha; \beta)$  v bodě  $\alpha \in U$  a směru  $\beta \in \mathbb{R}^d$  platí:

$$x'(\alpha; \beta) = \mathbf{A}(\alpha)^{-1} (f'(\alpha; \beta) - \mathbf{A}'(\alpha; \beta)x(\alpha)), \quad (1.3)$$

kde  $\mathbf{A}'(\alpha; \beta)$  a  $f'(\alpha; \beta)$  jsou příslušné derivace  $\mathbf{A}$  a  $f$  v bodě  $\alpha$  a směru  $\beta$ .

*Důkaz.* Není těžké si rozmyslet, že existenci korektně definovaného zobrazení  $x : \alpha \mapsto x_\alpha$  ( $x_\alpha$  je jako v (1.1)) nám zaručí již vlastnost (i) (stačí položit  $x(\alpha) = \mathbf{A}(\alpha)^{-1}f(\alpha)$ ). Uvidíme však, že věta o implicitních funkcích dává nejenom existenci funkce  $x(\alpha)$ , ale také její hladkost.

Zvolme  $\alpha_0 \in U$  libovolně. Položme  $x_0 = x_{\alpha_0}$ , tj. řešení soustavy (1.1) pro  $\alpha = \alpha_0$  a definujme zobrazení  $F : \mathbb{R}^d \times \mathbb{R}^n \rightarrow \mathbb{R}^n$  vztahem:  $F(\alpha, x) = \mathbf{A}(\alpha)x - f(\alpha)$ . Potom platí:

- $F(\alpha_0, x_0) = 0$ ;
- $\det \nabla_x F(\alpha_0, x_0) = \det \mathbf{A}(\alpha_0) \neq 0$ , neboť dle předpokladu  $\mathbf{A}(\alpha_0)$  je regulární;
- z vlastnosti (ii) a z toho, že  $\nabla_x F(\alpha, x) = \mathbf{A}(\alpha)$  vyplývá, že  $F \in C^1(U \times \mathbb{R}^n; \mathbb{R}^n)$ .

Tím máme ověřené všechny předpoklady věty o implicitních funkcích, tudíž platí:  $\exists \mathcal{U}_0 \subset U$  okolí  $\alpha_0$  tak, že rovnice  $F(\alpha, x) = 0$ ,  $\alpha \in \mathcal{U}_0$  má právě jedno řešení  $x(\alpha)$  a navíc zobrazení  $x : \alpha \mapsto x(\alpha)$  je třídy  $C^1(\mathcal{U}_0; \mathbb{R}^n)$ . Jelikož  $\alpha_0 \in U$  bylo zcela libovolné, je  $x \in C^1(U; \mathbb{R}^n)$ .

K odvození vztahu, který splňuje směrová derivace  $x'(\alpha; \beta)$  v bodě  $\alpha$  a směru  $\beta$  využijeme definici směrové derivace:

$$\begin{aligned} \mathbf{A}'(\alpha; \beta) &= \lim_{t \rightarrow 0+} \frac{\mathbf{A}(\alpha + t\beta) - \mathbf{A}(\alpha)}{t}, \\ f'(\alpha; \beta) &= \lim_{t \rightarrow 0+} \frac{f(\alpha + t\beta) - f(\alpha)}{t}. \end{aligned}$$

Bud'  $\beta \in \mathbb{R}^d$  libovolný,  $t > 0$  reálné číslo. Potom:

$$\begin{aligned} \mathbf{A}(\alpha + t\beta)x(\alpha + t\beta) &= f(\alpha + t\beta), \\ \mathbf{A}(\alpha)x(\alpha) &= f(\alpha). \end{aligned}$$

Odečtením druhé rovnice od první, rozšířením o člen  $\mathbf{A}(\alpha + t\beta)x(\alpha) - \mathbf{A}(\alpha + t\beta)x(\alpha)$  a vydělením číslem  $t$  dostaneme rovnost:

$$\mathbf{A}(\alpha + t\beta)\frac{x(\alpha + t\beta) - x(\alpha)}{t} + \frac{\mathbf{A}(\alpha + t\beta) - \mathbf{A}(\alpha)}{t}x(\alpha) = \frac{f(\alpha + t\beta) - f(\alpha)}{t}$$

Nyní stačí provést limitní přechod pro  $t \rightarrow 0_+$  a ihned obdržíme hledaný vztah pro směrovou derivaci  $x'(\alpha; \beta)$ :

$$\mathbf{A}(\alpha)x'(\alpha; \beta) = f'(\alpha; \beta) - \mathbf{A}'(\alpha; \beta)x(\alpha), \quad (1.4)$$

neboť  $\mathbf{A}$ ,  $f$  a  $x$  jsou zobrazení třídy  $C^1$ , tudíž příslušné derivace existují.  $\square$

Nechť v dalším platí předpoklady předchozí věty. Bud'  $J : U \times \mathbb{R}^n \rightarrow \mathbb{R}$  libovolné zobrazení třídy  $C^1(U \times \mathbb{R}^n)$  a definujme funkci  $\mathcal{J} : U \rightarrow \mathbb{R}$  jako:

$$\mathcal{J}(\alpha) := J(\alpha, x(\alpha)),$$

kde  $x(\alpha)$  je řešení soustavy (1.2).

V předchozím jsme dokázali, že z platnosti (i) a (ii) je  $x \in C^1(U; \mathbb{R}^n)$  a tudíž je také  $\mathcal{J} \in C^1(U)$  podle věty o derivaci složeného zobrazení. Zvolíme-li tedy libovolný vektor  $\beta \in \mathbb{R}^d$ , pak podle výše uvedené věty dostaneme:

$$\mathcal{J}'(\alpha; \beta) = \nabla_\alpha J(\alpha, x(\alpha))^T \beta + \nabla_x J(\alpha, x(\alpha))^T x'(\alpha; \beta). \quad (1.5)$$

Budeme-li chtít počítat  $\mathcal{J}'(\alpha; \beta)$  přímo ze vzorce (1.5), musíme pro každý směr  $\beta \in \mathbb{R}^d$  navíc vyřešit soustavu (1.4), abychom dostali  $x'(\alpha; \beta)$ . Tomu se však vyhneme, zavedeme-li pojem tzv. *adjungovaného stavu* a *adjungované soutavy*:

$$\mathbf{A}(\alpha)^T p(\alpha) = \nabla_x J(\alpha, x(\alpha)). \quad (1.6)$$

Transponováním a vynásobením  $x'(\alpha; \beta)$  dostaneme:

$$\begin{aligned} \nabla_x J(\alpha, x(\alpha))^T x'(\alpha; \beta) &= p^T(\alpha) \mathbf{A}(\alpha) x'(\alpha; \beta) \\ &= p^T(\alpha) [f'(\alpha; \beta) - \mathbf{A}'(\alpha; \beta)x(\alpha)]. \end{aligned}$$

V poslední rovnosti jsme využili vztah (1.4) pro derivaci  $x'(\alpha; \beta)$ . Stačí jenom dosadit odvozenou rovnost do (1.5), čímž získáme výsledný vztah:

$$\mathcal{J}'(\alpha; \beta) = \nabla_\alpha J(\alpha, x(\alpha))^T \beta + p^T(\alpha) [f'(\alpha; \beta) - \mathbf{A}'(\alpha; \beta)x(\alpha)]. \quad (1.7)$$

Všimněme si, že adjungovaná soustava (1.6) nezávisí na  $\beta$ , tudíž ji stačí vyřešit pouze jednou, abychom mohli určit směrovou derivaci  $\mathcal{J}'(\alpha; \beta)$  pro libovolný směr  $\beta$ !

**Poznámka.** Jiné odvození vztahu (1.7) založené na metodě Lagrangeových multiplikátorů lze nalézt v knize [1].

**Dodatek.** Nakonec si ukážeme příklad funkce  $\mathcal{J}(\alpha)$ , pro kterou nepotřebujeme vyřešit adjungovanou soustavu, abychom spočítali směrovou derivaci  $\mathcal{J}'(\alpha; \beta)$  v bodě  $\alpha$  a směru  $\beta$ .

Bud'  $\mathbf{A} \in \mathbb{R}^{n \times n}$  symetrická matice. Potom platí, že vektor  $x \in \mathbb{R}^n$  řeší soustavu  $\mathbf{A}x = f$  právě když  $x$  minimalizuje jistou funkci  $J(y)$ . Přesněji:

$$\begin{aligned}\mathbf{A}x = f &\iff x = \arg \min_{y \in \mathbb{R}^n} J(y), \\ J(y) &= \frac{1}{2} \langle y, \mathbf{A}y \rangle - \langle y, f \rangle,\end{aligned}$$

kde  $\langle \cdot, \cdot \rangle$  značí standardní skalární součin v  $\mathbb{R}^n$  definovaný vztahem

$$\langle x, y \rangle := \sum_{i=1}^n x_i y_i \quad \forall x, y \in \mathbb{R}^n.$$

Uvažujeme-li soustavu lineárních algebraických rovnic závisející na parametru  $\alpha$ , předchozí tvrzení můžeme přeformulovat následovně:

$$\begin{aligned}\mathbf{A}(\alpha)x(\alpha) = f(\alpha) \quad \forall \alpha \in U &\iff x(\alpha) = \arg \min_{y \in \mathbb{R}^n} J(\alpha, y) \quad \forall \alpha \in U, \\ J(\alpha, y) &= \frac{1}{2} \langle y, \mathbf{A}(\alpha)y \rangle - \langle y, f(\alpha) \rangle.\end{aligned}$$

Definujme  $\mathcal{J}(\alpha)$  takto:

$$\mathcal{J}(\alpha) := J(\alpha, x(\alpha)) = \frac{1}{2} \langle x(\alpha), \mathbf{A}(\alpha)x(\alpha) \rangle - \langle x(\alpha), f(\alpha) \rangle. \quad (1.8)$$

Předpokládejme, že maticová funkce  $\mathbf{A}(\alpha)$  a vektorová funkce  $f(\alpha)$  splňují podmínky (i) a (ii) z Věty 1.1. Potom je funkce  $\mathcal{J}(\alpha)$  spojitě diferencovatelná na množině  $U$ , neboť  $f \in C^1(U)$ ,  $\mathbf{A} \in C^1(U)$  a  $x \in C^1(U)$  díky právě zmíněné věty.

Symetrii matice  $\mathbf{A}(\alpha)$  a to, že  $x(\alpha)$  splňuje rovnici  $\mathbf{A}(\alpha)x(\alpha) = f(\alpha)$

použijeme k odvození směrové derivace  $\mathcal{J}'(\alpha; \beta)$ :

$$\begin{aligned}
\mathcal{J}'(\alpha; \beta) &= \frac{1}{2} \underbrace{\langle x'(\alpha; \beta), \mathbf{A}(\alpha)x(\alpha) \rangle}_{+} + \frac{1}{2} \langle x(\alpha), \mathbf{A}'(\alpha; \beta)x(\alpha) \rangle \\
&\quad + \frac{1}{2} \underbrace{\langle x(\alpha), \mathbf{A}(\alpha)x'(\alpha; \beta) \rangle}_{-} - \langle x'(\alpha; \beta), f(\alpha) \rangle - \langle x(\alpha), f'(\alpha; \beta) \rangle \\
&= \langle x'(\alpha; \beta), \mathbf{A}(\alpha)x(\alpha) \rangle - \langle x'(\alpha; \beta), f(\alpha) \rangle + \frac{1}{2} \langle x(\alpha), \mathbf{A}'(\alpha; \beta)x(\alpha) \rangle \\
&\quad - \langle x(\alpha), f'(\alpha; \beta) \rangle \\
&= \langle x'(\alpha; \beta), \underbrace{\mathbf{A}(\alpha)x(\alpha) - f(\alpha)}_{=0} \rangle + \frac{1}{2} \langle x(\alpha), \mathbf{A}'(\alpha; \beta)x(\alpha) \rangle \\
&\quad - \langle x(\alpha), f'(\alpha; \beta) \rangle \\
&= \frac{1}{2} \langle x(\alpha), \mathbf{A}'(\alpha; \beta)x(\alpha) - 2f'(\alpha; \beta) \rangle.
\end{aligned}$$

## Kapitola 2

# Projekce v Hilbertových prostorech

**Úvod.** V celé této kapitole dvojice  $(X, (\cdot, \cdot))$  bude značit reálný Hilbertův prostor se skalárním součinem  $(\cdot, \cdot)$ . Nechť  $L \subset\subset X$  je podprostor  $X$  konečné dimenze.

Cílem tohoto úvodu je připomenout, jak k danému prvku  $x \in X$  nalézt  $g \in L$ , který je k němu ”nejbližší” v normě prostoru  $L$ , tj.  $\|x - g\| = \min_{z \in L} \|x - z\|$ . K tomu uvedeme bez důkazů dvě věty, známé z funkcionální analýzy. Příslušné důkazy lze nalézt například v [2].

**Věta 2.1.** *Nechť  $(X, (\cdot, \cdot))$  je Hilbertův prostor,  $L \subset\subset X$  uzavřený podprostor  $X$ . Potom:*

$$\forall x \in X \exists! g \in L : \|x - g\| = \min_{z \in L} \|x - z\|.$$

**Věta 2.2.** *Bud'  $(X, (\cdot, \cdot))$  Hilbertův prostor,  $L \subset\subset X$  uzavřený podprostor. Nechť  $x \in X$  a  $g \in L$ . Pak*

$$\|x - g\| = \min_{z \in L} \|x - z\| \iff (x - g, z) = 0, \quad \forall z \in L.$$

Označme  $\{\varphi_1, \dots, \varphi_n\}$  bázi prostoru  $L$ , kde  $n = \dim L$ . Podle Věty 2.2 stačí najít koeficienty  $\alpha_1, \dots, \alpha_n \in \mathbb{R}$  tak, že pro  $g = \sum_{i=1}^n \alpha_i \varphi_i$  platí:

$$(x - g, z) = 0 \quad \forall z \in L.$$

Jelikož reálný skalární součin je lineární v druhé složce, stačí nalézt  $g \in L$  tak, aby:

$$(x - g, \varphi_j) = 0, \quad \forall j = 1, \dots, n.$$

Tedy:

$$(x - \sum_{i=1}^n \alpha_i \varphi_i, \varphi_j) = 0, \quad \forall j = 1, \dots, n,$$

což je ekvivalentní:

$$\sum_{i=1}^n \alpha_i (\varphi_i, \varphi_j) = (x, \varphi_j), \quad \forall j = 1, \dots, n. \quad (2.1)$$

Soustavu (2.1) můžeme zapsat v maticovém tvaru:

$$\mathbf{A}\alpha = F, \quad (2.2)$$

kde  $\alpha = (\alpha_1, \dots, \alpha_n)^T$  je hledaný vektor koeficientů lineární kombinace,  $F = ((x, \varphi_1), \dots, (x, \varphi_n))^T$  je vektor pravé strany a  $\mathbf{A} = ((\varphi_i, \varphi_j))_{i,j=1}^n$  je matice soustavy, tzv. *Gramova matice*.

Řešitelnost soustavy (2.2) a tudíž také existenci nejbližšího prvku dokazuje následující lemma.

**Lemma 2.3.** *Gramova matice  $\mathbf{A} = ((\varphi_i, \varphi_j))_{i,j=1}^n$  definovaná jako výše je regulární.*

*Důkaz.* Plyne ihned z lineární nezávislosti bázových vektorů  $\varphi_i, i = 1, \dots, n$ .  $\square$

Nyní ukážeme, že jsme v podstatě zkonstruovali ortogonální projekci prostoru  $X$  na jeho konečně dimenzionální podprostor  $L = \text{span}\{\varphi_1, \dots, \varphi_n\}$ .

Definujme proto zobrazení  $P : X \rightarrow L$  předpisem  $Px = \sum_{i=1}^n \alpha_i \varphi_i \quad \forall x \in X$ , kde koeficienty  $\alpha_i$  jsou řešením soustavy (2.2). Potom operátor  $P$  je

- lineární (snadno se ověří z (2.1)),
- $\forall x \in L : Px = x \implies P^2 = P$ ,
- konečně dimenzionální  $\implies$  spojitý,
- $\text{Ker } P = \{x \in X : \sum_i \alpha_i \varphi_i = 0\} = \{x \in X : (x, \varphi_i) = 0 \quad \forall i\} = L^\perp = (\text{Rng } P)^\perp$ .

Tudíž  $P$  je skutečně ortogonální projekce  $X$  na  $L$ .

**Úloha 2.4.** Nechť  $a, b \in \mathbb{R}$ ,  $a < b$ ;  $n \in \mathbb{N}$ . Uvažujme dělení  $\Delta_n := \{a = x_0 < x_1 < \dots < x_n = b\}$  intervalu  $[a, b]$  a označme  $L_n$  prostor všech po částech lineárních, spojité funkcií na tomto dělení:

$$L_n := L(\Delta_n) = \{\varphi \in C[a, b]; \varphi|_{[x_{i-1}, x_i]} \in P_1 \quad \forall i = 1, \dots, n\},$$

a jeho podprostor:

$$\tilde{L}_n := \tilde{L}(\Delta_n) = \{\varphi \in L_n; \varphi(a) = 0\}.$$

Pro daný  $f \in X_1$ , resp.  $X_2$  nalezněme jeho ortogonální projekci na  $L_n$  resp.  $\tilde{L}_n$ , je-li:

(a)  $X_1 = L^2(a, b)$  se skalárním součinem:

$$(f, g) = \int_a^b f(x)g(x) dx \quad \forall f, g \in X_1,$$

(b)  $X_2 = \{f \in W^{1,2}(a, b); f(a) = 0\}$  se skalárním součinem:

$$(f, g) = \int_a^b f'(x)g'(x) dx \quad \forall f, g \in X_2,$$

kde  $W^{1,2}(a, b)$  je Sobolevův prostor  $W^{1,2}$  na intervalu  $(a, b)$  a  $f' \in L^2(a, b)$  značí slabou derivaci funkce  $f \in X_2$ .

**Poznámka.** Na reálné přímce platí, že  $W^{1,2}(a, b) \hookrightarrow C([a, b])$  v tom smyslu, že pro každou třídu funkcií  $f \in W^{1,2}(a, b)$  existuje její reprezentant  $f^\sharp$ , který je spojitý na intervalu  $[a, b]$  a tudíž má smysl pro něj definovat bodovou hodnotu  $f^\sharp(a)$ . Prostor  $X_2$  je tedy korektně definován, neboť pro  $f \in W^{1,2}(a, b)$  položíme:  $f(a) := f^\sharp(a)$ .

**Lemma 2.5.** (a)  $L_n$  je lineární podprostor prostoru  $X_1$ ,  $\dim L = n + 1$ .  
Jeho bázové funkce jsou:

$$\varphi_0(x) := \begin{cases} \frac{x_1 - x}{x_1 - x_0}, & x \in [x_0, x_1], \\ 0 & \text{jinak} \end{cases} \quad (2.3)$$

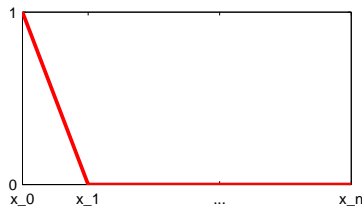
$$\varphi_j(x) := \begin{cases} \frac{x - x_{j-1}}{x_j - x_{j-1}}, & x \in [x_{j-1}, x_j], \\ \frac{x_{j+1} - x}{x_{j+1} - x_j}, & x \in [x_j, x_{j+1}], \\ 0 & \text{jinak} \end{cases} \quad (2.4)$$

$$\varphi_n(x) := \begin{cases} \frac{x-x_{n-1}}{x_n-x_{n-1}}, & x \in [x_{n-1}, x_n], \\ 0 & \text{jinak,} \end{cases} \quad (2.5)$$

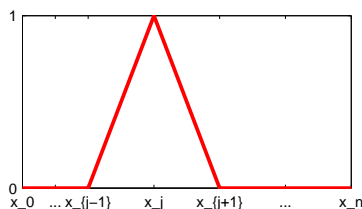
kde  $j = 1, \dots, n - 1$ .

- (b)  $\tilde{L}_n \subset\subset X_2$ ,  $\dim \tilde{L}_n = n$  a funkce  $\{\varphi_1, \dots, \varphi_n\}$ , definované vztahy (2.4) a (2.5) tvoří bázi tohoto prostoru.

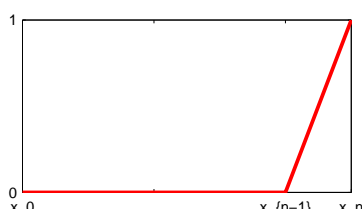
*Důkaz.* Jde jenom o ověření definic, proto jej zde uvádět nebudeme.  $\square$



Obrázek 2.1: Bázová funkce  $\varphi_0$



Obrázek 2.2: Bázová funkce  $\varphi_j$ ,  $1 \leq j \leq n - 1$



Obrázek 2.3: Bázová funkce  $\varphi_n$

*Řešení Úlohy 2.4.* Reálný skalární součin je symetrický, tudíž každá reálná Gramova matice je symetrická. Navíc z definice bázových funkcí je ihned patrné, že pro  $|i - j| \geq 2$  bude  $a_{ij} = 0$ , neboť:

$$a_{ij} = (\varphi_i, \varphi_j) = \int_a^b \varphi_i(x) \varphi_j(x) dx = \sum_{k=1}^n \int_{x_{k-1}}^{x_k} \varphi_i(x) \varphi_j(x) dx = 0,$$

neboť v každém sčítanci je aspoň jedna z funkcí  $\varphi_i(x)$ ,  $\varphi_j(x)$  nulová.

Obdobně můžeme odvodit totéž pro případ (b).

V obou případech tedy dostáváme symetrickou, třídiagonální Gramovu matici. Pro její nenulové prvky v případě (a) platí:

$$a_{00} = (\varphi_0, \varphi_0) = \int_{x_0}^{x_1} \left( \frac{x_1 - x}{x_1 - x_0} \right)^2 dx = \frac{x_1 - x_0}{3}, \quad (2.6)$$

$$\begin{aligned} a_{ii} &= (\varphi_i, \varphi_i) = \int_{x_{i-1}}^{x_i} \left( \frac{x - x_{i-1}}{x_i - x_{i-1}} \right)^2 dx + \int_{x_i}^{x_{i+1}} \left( \frac{x_{i+1} - x}{x_{i+1} - x_i} \right)^2 dx = \\ &\quad \frac{x_i - x_{i-1}}{3} + \frac{x_{i+1} - x_i}{3} = \frac{x_{i+1} - x_{i-1}}{3} \quad \forall i = 1, \dots, n-1, \end{aligned} \quad (2.7)$$

$$a_{nn} = (\varphi_n, \varphi_n) = \int_{x_{n-1}}^{x_n} \left( \frac{x - x_{n-1}}{x_n - x_{n-1}} \right)^2 dx = \frac{x_n - x_{n-1}}{3}. \quad (2.8)$$

Prvky nad diagonálou určíme analogicky:

$$\begin{aligned} a_{i,i+1} &= (\varphi_i, \varphi_{i+1}) = \int_a^b \varphi_i(x) \varphi_{i+1}(x) dx = \int_{x_i}^{x_{i+1}} \frac{x_{i+1} - x}{x_{i+1} - x_i} \cdot \frac{x - x_i}{x_{i+1} - x_i} dx \\ &= \frac{x_{i+1} - x_i}{6} \quad \forall i = 0, \dots, n-1. \end{aligned} \quad (2.9)$$

Zbývá sestavit vektor pravé strany, pro nějž podle úvodní části platí vztahy:

$$(f, \varphi_0) = \frac{1}{x_1 - x_0} \int_{x_0}^{x_1} f(x)(x_1 - x) dx, \quad (2.10)$$

$$\begin{aligned} (f, \varphi_i) &= \frac{1}{x_i - x_{i-1}} \int_{x_{i-1}}^{x_i} f(x)(x - x_{i-1}) dx \\ &\quad + \frac{1}{x_{i+1} - x_i} \int_{x_i}^{x_{i+1}} f(x)(x_{i+1} - x) dx, \end{aligned} \quad (2.11)$$

$$(f, \varphi_n) = \frac{1}{x_n - x_{n-1}} \int_{x_{n-1}}^{x_n} f(x)(x - x_{n-1}) dx, \quad (2.12)$$

kde  $i = 1, \dots, n-1$ .

V případě (b) postupujeme obdobně:

$$\begin{aligned} a_{ii} = (\varphi_i, \varphi_i) &= \int_a^b (\varphi'_i(x))^2 dx \\ &= \frac{1}{x_i - x_{i-1}} + \frac{1}{x_{i+1} - x_i} \quad \forall i = 1, \dots, n-1 \end{aligned} \quad (2.13)$$

$$a_{nn} = (\varphi_n, \varphi_n) = \frac{1}{x_n - x_{n-1}} \quad (2.14)$$

$$a_{i,i+1} = (\varphi_i, \varphi_{i+1}) = -\frac{1}{x_{i+1} - x_i} \quad \forall i = 1, \dots, n-1 \quad (2.15)$$

$$\begin{aligned} (f, \varphi_i) &= \int_{x_{i-1}}^{x_i} \frac{f'(x)}{x_i - x_{i-1}} dx - \int_{x_i}^{x_{i+1}} \frac{f'(x)}{x_{i+1} - x_i} dx \\ &= \frac{f(x_i) - f(x_{i-1})}{x_i - x_{i-1}} - \frac{f(x_{i+1}) - f(x_i)}{x_{i+1} - x_i} \quad \forall i = 1, \dots, n-1, \end{aligned} \quad (2.16)$$

$$(f, \varphi_n) = \int_{x_{n-1}}^{x_n} \frac{f'(x)}{x_n - x_{n-1}} dx = \frac{f(x_n) - f(x_{n-1})}{x_n - x_{n-1}}. \quad (2.17)$$

# Kapitola 3

## Nalezení optimálního dělení

**Úvod.** V této kapitole se budeme zabývat prostorem  $(X_1, (\cdot, \cdot))$  a  $L_n \subset\subset X_1$ , resp.  $(X_2, (\cdot, \cdot))$  a  $\tilde{L}_n \subset\subset X_2$ , definovaných v Úloze 2.4. Jelikož následující úvahy lze provést podobně pro oba případy, dovolujeme si pro přehlednost používat jednotné označení  $X$  a  $L$  (s patřičným skalárním součinem  $(\cdot, \cdot)$ ). Nechť je navíc  $n \in \mathbb{N}$ , tj. počet dílčích intervalů intervalu  $[a, b]$  pevná, předem zvolená. Pro zjednodušení dalšího označení budeme používat symbol  $\Delta$  místo  $\Delta_n$ .

V předchozí kapitole jsme ukázali, jak pro pevné dělení  $\Delta$  intervalu  $[a, b]$  a danou funkci  $f \in X$  nalézt funkci  $g \in L$ , která nejlépe approximuje  $f$  v normě prostoru  $X$ . Všimněme si, že prostor  $L$  a tudíž i funkce  $g$  závisí na volbě dělení, tj.  $L = L(\Delta)$  a  $g = g(\Delta)$ ! To nás motivuje k tomu, abychom hledali ”optimální dělení”, neboli  $\hat{\Delta}$  takové, pro které platí:

$$\hat{\Delta} = \arg \min_{\Delta \in U_{ad}} \|f - g(\Delta)\|, \quad (3.1)$$

kde  $U_{ad} \subset \mathbb{R}^{n+1}$  je jistá množina dělení.

Bude-li množina  $U_{ad}$  kompaktní a zobrazení  $g : U_{ad} \rightarrow L$ ,  $\Delta \mapsto g(\Delta)$ ,  $\Delta \in U_{ad}$  spojité, máme zaručeno existenci optimálního dělení. Stačí si totiž uvědomit, že za těchto předpokladů je funkce  $\Psi(\Delta) := \|f - g(\Delta)\|$  složením spojitých zobrazení, tudíž sama spojitá a každá spojitá funkce na kompaktní množině nabývá svého minima.

Zdůrazněme, že počet dílčích intervalů  $n \in \mathbb{N}$  je pevné, hledáme pouze optimální rozložení uzelů  $x_1, x_2, \dots, x_{n-1}$  (krajní body  $x_0 = a$  a  $x_n = b$  se nemění).

Přirozeně se nabízí hledat optimální dělení v množině všech možných dělení intervalu  $[a, b]$ . Bohužel množina

$$\{ (x_0, x_1, \dots, x_n) \in \mathbb{R}^{n+1}; a = x_0 < x_1 < \dots < x_{n-1} < x_n = b \}$$

není uzavřená, tudíž nemůže být ani kompaktní. Proto nemusí existovat optimální dělení ve výše uvedené množině a musíme zúžit obor přípustných dělení.

Bud'  $0 < \delta \leq (b - a)/n$ . Uvažujme následující dělení intervalu  $[a, b]$ :

$$U_\delta := \{ (x_0, x_1, \dots, x_n) \in \mathbb{R}^{n+1}; x_0 = a, x_1 \geq x_0 + \delta, \dots, x_n \geq x_{n-1} + \delta, x_n = b \}. \quad (3.2)$$

**Lemma 3.1.** *Množina  $U_\delta \subset \mathbb{R}^{n+1}$  je kompaktní.*

*Důkaz.* Zřejmě  $U_\delta \subset [a, b]^{n+1}$ , tudíž je omezená. Ke kompaktnosti zbývá ukázat, že  $U_\delta$  je uzavřená. Mějme proto posloupnost  $\{\Delta^k\}_{k=1}^\infty \subset U_\delta$ ,  $\Delta^k = (x_0^k, x_1^k, \dots, x_n^k)$  a předpokládejme, že:

$$\exists \Delta = (x_0, x_1, \dots, x_n) \in \mathbb{R}^{n+1} : \Delta^k \longrightarrow \Delta, k \rightarrow \infty,$$

což je ekvivalentní:

$$\forall i = 0, \dots, n : x_i^k \longrightarrow x_i, k \rightarrow \infty.$$

Podle předpokladu přitom platí:

$$\forall k \in \mathbb{N} \forall i = 0, \dots, n-1 : x_{i+1}^k - x_i^k \geq \delta.$$

Po limitním přechodu pro  $k \rightarrow \infty$  dostaneme:

$$\forall i = 0, \dots, n-1 : x_{i+1} - x_i \geq \delta.$$

Tedy  $\Delta \in U_\delta$  a tudíž je množina  $U_\delta \subset \mathbb{R}^{n+1}$  kompaktní.  $\square$

V dalším budeme předpokládat, že  $U_{ad} = U_\delta$ , kde  $U_\delta$  je definováno právě pomocí (3.2).

Vyšetřeme nyní spojitost zobrazení  $g : U_{ad} \rightarrow L$ ,  $\Delta \mapsto g(\Delta)$  pro  $\Delta \in U_{ad}$ , kde  $g(\Delta)$  je prvek nejlepší lineární approximace na  $\Delta \in U_{ad}$ . Dle předchozí kapitoly:

$$g(\Delta) = \sum_i \alpha_i(\Delta) \varphi_i(\Delta) \quad \forall \Delta \in U_{ad}, \quad (3.3)$$

kde vektor koeficientů lineární kombinace  $\alpha(\Delta) = (\alpha_0(\Delta), \dots, \alpha_n(\Delta))^T$ , resp.  $\alpha(\Delta) = (\alpha_1(\Delta), \dots, \alpha_n(\Delta))^T$  řeší soustavu (2.2):

$$\mathbf{A}(\Delta)\alpha(\Delta) = F(\Delta) \quad \forall \Delta \in U_{ad}. \quad (3.4)$$

Prvky matice  $\mathbf{A}(\Delta)$  jsou dány vztahy (2.6)-(2.9), resp. (2.13)-(2.15), a prvky vektoru  $F(\Delta)$  mají tvar (2.10)-(2.12), resp. (2.16)-(2.17).

Ze vztahu (3.3) je patrné, že zobrazení  $g(\Delta)$  bude spojité na množině  $U_{ad}$  jakmile tam budou  $\alpha_i(\Delta)$  a  $\varphi_i(\Delta)$  spojité. Není těžké si rozmyslet, že je to pravda jak pro  $X = X_1$ , tak pro  $X = X_2$ . Na druhou stranu, budou-li  $\mathbf{A}(\Delta)$  a  $F(\Delta)$ ,  $\Delta \in U_{ad}$  třídy  $C^1$ , bude zobrazení  $\alpha(\Delta)$  třídy  $C^1$  (viz. Větu 1.1). K tomu, abychom mohli použít teoretické výsledky první kapitoly, je zapotřebí mít funkce  $\mathbf{A}$  a  $F$  alespoň třídy  $C^1$ . Vyšetřeme tedy za jakých podmínek to nastává.

(a) Nechť  $X = X_1$  a  $L = L_n$ . Z (2.6)-(2.9) je hned zřejmé, že matcová funkce  $\mathbf{A}(\Delta)$ ,  $\Delta \in U_{ad}$  je spojite diferencovatelná podle  $x_i$  pro každé  $i = 1, \dots, n-1$ , tudíž je třídy  $C^1$  na  $U_{ad}$ . Symbolem  $\mathbf{A}'(\Delta; x_i)$  označme derivaci matice  $\mathbf{A}(\Delta)$  podle proměnné  $x_i$ . Zřejmě v matici  $\mathbf{A}'(\Delta; x_i)$  je pouze 6 nenulových členů pro  $i = 1, \dots, n-1$  (protože krajní body  $x_0 = a$  a  $x_n = b$  jsou pevné, budou nás zajímat jenom derivace podle  $x_i$  pro  $i = 1, \dots, n-1$ ):

$$\frac{\partial a_{i-1,i-1}}{\partial x_i}(\Delta) = \frac{1}{3}, \quad (3.5)$$

$$\frac{\partial a_{ii}}{\partial x_i}(\Delta) = 0, \quad (3.6)$$

$$\frac{\partial a_{i+1,i+1}}{\partial x_i}(\Delta) = -\frac{1}{3}, \quad (3.7)$$

$$\frac{\partial a_{i-1,i}}{\partial x_i} = \frac{\partial a_{i,i-1}}{\partial x_i}(\Delta) = \frac{1}{6}, \quad (3.8)$$

$$\frac{\partial a_{i,i+1}}{\partial x_i} = \frac{\partial a_{i+1,i}}{\partial x_i}(\Delta) = -\frac{1}{6}, \quad (3.9)$$

pro každé  $i = 1, \dots, n - 1$ . Je tedy:

$$\mathbf{A}'(\Delta; x_i) = \begin{pmatrix} \ddots & \ddots & & & \\ \ddots & \frac{1}{3} & \frac{1}{6} & -\frac{1}{6} & \\ & \frac{1}{6} & 0 & & \\ & -\frac{1}{6} & -\frac{1}{3} & \ddots & \\ & & \ddots & \ddots & \end{pmatrix}$$

kde kromě vyznačených jsou všechny ostatní prvky matice  $\mathbf{A}'(\Delta; x_i)$  nulové.

Nechť  $f \in C([a, b])$ . Potom neurčitý Lebesgueův integrál  $H(x) = \int_a^x f(t) dt$  je primitivní funkce k  $f$  na intervalu  $[a, b]$  a platí:  $H'(x) = f(x) \forall x \in [a, b]$ . Tuto vlastnost využijeme při počítání  $F'(\Delta; x_i)$ , kde  $F'(\Delta; x_i)$  značí derivaci vektorové funkce  $F(\Delta)$  podle proměnné  $x_i$ . Všimněme si, že nejvýše 3 složky pravé strany (2.10)-(2.12) závisí na  $x_i$  ( $i = 1, \dots, n-1$ ) a to prostřednictvím  $\varphi_{i-1}(\Delta)$ ,  $\varphi_i(\Delta)$  a  $\varphi_{i+1}(\Delta)$ . Derivací pravé strany  $F(\Delta)$  podle  $x_i$  zůstanou nenulové tyto složky:

$$\begin{aligned} \frac{\partial}{\partial x_i}(f, \varphi_{i-1}(\Delta)) &= \frac{\partial}{\partial x_i} \left( \frac{1}{x_i - x_{i-1}} \int_{x_{i-1}}^{x_i} f(x)(x_i - x) dx \right) \\ &= \frac{\partial}{\partial x_i} \left( \frac{x_i}{x_i - x_{i-1}} \int_{x_{i-1}}^{x_i} f(x) dx \right) - \frac{\partial}{\partial x_i} \left( \frac{1}{x_i - x_{i-1}} \int_{x_{i-1}}^{x_i} f(x)x dx \right) \\ &= \frac{x_i - x_{i-1} - x_i}{(x_i - x_{i-1})^2} \int_{x_{i-1}}^{x_i} f(x) dx + \frac{x_i f(x_i)}{x_i - x_{i-1}} \\ &\quad + \frac{1}{(x_i - x_{i-1})^2} \int_{x_{i-1}}^{x_i} f(x)x dx - \frac{f(x_i)x_i}{x_i - x_{i-1}} \\ &= \frac{1}{(x_i - x_{i-1})^2} \int_{x_{i-1}}^{x_i} f(x)(x - x_{i-1}) dx. \quad (3.10) \end{aligned}$$

Obdobně dostaneme:

$$\begin{aligned} \frac{\partial}{\partial x_i}(f, \varphi_i(\Delta)) &= \frac{1}{(x_{i+1} - x_i)^2} \int_{x_i}^{x_{i+1}} f(x)(x_{i+1} - x) dx \\ &\quad - \frac{1}{(x_i - x_{i-1})^2} \int_{x_{i-1}}^{x_i} f(x)(x - x_{i-1}) dx, \quad (3.11) \end{aligned}$$

$$\frac{\partial}{\partial x_i}(f, \varphi_{i+1}(\Delta)) = -\frac{1}{(x_{i+1} - x_i)^2} \int_{x_i}^{x_{i+1}} f(x)(x_{i+1} - x) dx \quad (3.12)$$

pro každé  $i = 1, \dots, n - 1$ .

Ukažme, že tyto funkce spojitě závisí na  $\Delta \in U_{ad}$ . K tomu využijeme fakt, že neurčitý Lebesgueův integrál integrovatelné funkce je absolutně spojitý jako funkce integrační meze. Upravme například (3.10) následovně:

$$\begin{aligned} \frac{\partial}{\partial x_i}(f, \varphi_{i-1}(\Delta)) &= \frac{1}{(x_i - x_{i-1})^2} \int_{x_{i-1}}^{x_i} f(x)(x - x_{i-1}) dx \\ &= \frac{1}{(x_i - x_{i-1})^2} \int_a^{x_i} xf(x) dx - \frac{1}{(x_i - x_{i-1})^2} \int_a^{x_{i-1}} xf(x) dx \\ &\quad - \frac{x_{i-1}}{(x_i - x_{i-1})^2} \int_a^{x_i} f(x) dx + \frac{x_{i-1}}{(x_i - x_{i-1})^2} \int_a^{x_{i-1}} f(x) dx. \end{aligned}$$

Tudíž  $\frac{\partial}{\partial x_i}(f, \varphi_{i-1}) \in C(U_{ad})$ . Analogicky můžeme dokázat, že  $\frac{\partial}{\partial x_i}(f, \varphi_j) \in C(U_{ad})$  pro každé  $i = 1, \dots, n - 1$  a  $j = 0, \dots, n$ , tedy  $F(\Delta) \in C^1(U_{ad})$ .

(b) Je-li  $X = X_2$  a  $L = \tilde{L}_n$ , potom vztahy (2.13)-(2.15) definují  $C^1$  maticovou funkci a její prvky jsou dány vztahy:

$$\frac{\partial a_{i-1,i-1}}{\partial x_i}(\Delta) = -\frac{1}{(x_i - x_{i-1})^2}, \quad (3.13)$$

$$\frac{\partial a_{ii}}{\partial x_i}(\Delta) = -\frac{1}{(x_i - x_{i-1})^2} + \frac{1}{(x_{i+1} - x_i)^2}, \quad (3.14)$$

$$\frac{\partial a_{i+1,i+1}}{\partial x_i}(\Delta) = \frac{1}{(x_{i+1} - x_i)^2}, \quad (3.15)$$

$$\frac{\partial a_{i-1,i}}{\partial x_i} = \frac{\partial a_{i,i-1}}{\partial x_i}(\Delta) = \frac{1}{(x_i - x_{i-1})^2}, \quad (3.16)$$

$$\frac{\partial a_{i,i+1}}{\partial x_i} = \frac{\partial a_{i+1,i}}{\partial x_i}(\Delta) = -\frac{1}{(x_{i+1} - x_i)^2}, \quad (3.17)$$

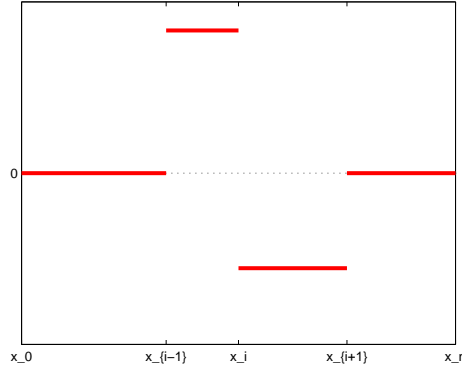
pro každé  $i = 1, \dots, n - 1$ . Ostatní prvky matice  $\mathbf{A}'(\Delta; x_i)$  jsou nulové.

Naopak diferencovatelnost  $F(\Delta)$  v tomto případě vyžaduje, aby funkce  $f$  měla spojitou slabou derivaci. Potom analogicky, jako jsme postupovali při odvození (3.10)-(3.12) můžeme určit derivaci  $F'(\Delta; x_i)$ . K tomu potřebujeme tvar slabých derivací bázových funkcí:

$$\varphi'_{i-1}(x) = \begin{cases} \frac{1}{x_{i-1}-x_{i-2}}, & , x \in (x_{i-2}, x_{i-1}), \\ \frac{-1}{x_i-x_{i-1}}, & , x \in (x_{i-1}, x_i), \\ 0 & \text{jinak} \end{cases}$$

$$\varphi'_i(x) = \begin{cases} \frac{1}{x_i - x_{i-1}}, & x \in (x_{i-1}, x_i), \\ \frac{-1}{x_{i+1} - x_i}, & x \in (x_i, x_{i+1}), \\ 0 & \text{jinak} \end{cases}$$

$$\varphi'_{i+1}(x) = \begin{cases} \frac{1}{x_{i+1} - x_i}, & x \in (x_i, x_{i+1}), \\ \frac{-1}{x_{i+2} - x_{i+1}}, & x \in (x_{i+1}, x_{i+2}), \\ 0 & \text{jinak.} \end{cases}$$



Obrázek 3.1: Slabá derivace bázové funkce  $\varphi_i$

Potom platí:

$$\begin{aligned} \frac{\partial(f, \varphi_{i-1})}{\partial x_i} &= \frac{\partial}{\partial x_i} \int_{x_{i-1}}^{x_i} f'(x) \varphi'_{i-1}(x) dx = \frac{\partial}{\partial x_i} \left( \frac{-1}{x_i - x_{i-1}} \int_{x_{i-1}}^{x_i} f'(x) dx \right) \\ &= \frac{1}{(x_i - x_{i-1})^2} \int_{x_{i-1}}^{x_i} f'(x) dx - \frac{f'(x_i)}{x_i - x_{i-1}} \\ &= \frac{f(x_i) - f(x_{i-1}) - f'(x_i)(x_i - x_{i-1})}{(x_i - x_{i-1})^2}, \quad (3.18) \end{aligned}$$

a vidíme, že pravá strana spojitě závisí na  $\Delta \in U_{ad}$ , neboť  $f, f' \in C([a, b])$ .  
Obdobně:

$$\begin{aligned} \frac{\partial(f, \varphi_i)}{\partial x_i} &= -\frac{f(x_{i+1}) - f(x_i) - f'(x_i)(x_{i+1} - x_i)}{(x_{i+1} - x_i)^2} \\ &\quad - \frac{f(x_i) - f(x_{i-1}) - f'(x_i)(x_i - x_{i-1})}{(x_i - x_{i-1})^2}, \quad (3.19) \end{aligned}$$

$$\frac{\partial(f, \varphi_{i+1})}{\partial x_i} = \frac{f(x_{i+1}) - f(x_i) - f'(x_i)(x_{i+1} - x_i)}{(x_{i+1} - x_i)^2}, \quad (3.20)$$

pro  $i = 1, \dots, n-1$ . Ostatní složky  $F'(\Delta; x_i)$  jsou i v tomto případě nulové.

Shrňme dosavadní výsledky do dvou vět.

**Věta 3.2.** (a) Nechť  $f \in C(a, b)$ . Potom maticová funkce  $\mathbf{A} : U_{ad} \rightarrow \mathbb{R}^{(n+1) \times (n+1)}$  definovaná vztahy (2.6)-(2.9) a vektorová funkce  $F : U_{ad} \rightarrow \mathbb{R}^{n+1}$  definovaná vztahy (2.10)-(2.12) jsou třídy  $C^1(U_{ad})$  a její směrové derivace  $\mathbf{A}'(\Delta; x_i)$ , resp.  $F'(\Delta; x_i)$  v bodě  $\Delta \in U_{ad}$  a ve směru  $x_i$  ( $i = 1, \dots, n-1$ ) splňují (3.5)-(3.9), resp. (3.10)-(3.12).

(b) Nechť  $f \in X_2$  má spojitou slabou derivaci:  $f' \in C([a, b])$ . Potom funkce  $\mathbf{A} : U_{ad} \rightarrow \mathbb{R}^{n \times n}$  a  $F : U_{ad} \rightarrow \mathbb{R}^n$  definované vztahy (2.13)-(2.15) a (2.16)-(2.17) jsou spojité diferencovatelné na množině  $U_{ad}$  a pro její směrové derivace v bodě  $\Delta \in U_{ad}$  a ve směru  $x_i$  ( $i = 1, \dots, n-1$ ) platí vztahy (3.13)-(3.17), resp. (3.18)-(3.20).

**Věta 3.3.** Nechť  $f \in X$  splňuje předpoklady předchozí věty. Potom úloha (3.1) má v množině  $U_{ad}$  řešení, t.j. existuje optimální dělení  $\widehat{\Delta} \in U_{ad}$  intervalu  $[a, b]$  o  $n$  uzlech splňující:

$$\|f - g(\widehat{\Delta})\| = \min_{\Delta \in U_{ad}} \min_{h \in L(\Delta)} \|f - h\|.$$

Je snadno vidět, že řešení úlohy (3.1) je ekvivalentní minimalizaci funkce  $\Phi : U_{ad} \rightarrow \mathbb{R}$  definované předpisem:

$$\Phi(\Delta) := \|f - g(\Delta)\|^2 = \|f\|^2 + \|g(\Delta)\|^2 - 2(f, g(\Delta)).$$

První člen v definici  $\Phi(\Delta)$  nezávisí na dělení  $\Delta$ , tudíž k určení optimálního dělení stačí minimalizovat následující funkci:

$$\mathcal{J}(\Delta) := \|g(\Delta)\|^2 - 2(f, g(\Delta)) \quad \forall \Delta \in U_{ad}. \quad (3.21)$$

Po úpravách dostaneme ekvivalentní zápis:

$$\begin{aligned}
\mathcal{J}(\Delta) &= (g(\Delta), g(\Delta)) - 2(f, g(\Delta)) \\
&= \left( \sum_i \alpha_i(\Delta) \varphi_i(\Delta), \sum_j \alpha_j(\Delta) \varphi_j(\Delta) \right) - 2 \left( f, \sum_i \alpha_i(\Delta) \varphi_i(\Delta) \right) \\
&= \sum_{i,j} \alpha_i(\Delta) \alpha_j(\Delta) (\varphi_i(\Delta), \varphi_j(\Delta)) - 2 \sum_i \alpha_i(\Delta) (f, \varphi_i(\Delta)) \\
&= \langle \alpha(\Delta), \underbrace{\mathbf{A}(\Delta) \alpha(\Delta)}_{=F(\Delta)} \rangle - 2 \langle \alpha(\Delta), F(\Delta) \rangle \tag{3.22} \\
&= - \langle \alpha(\Delta), F(\Delta) \rangle. \tag{3.23}
\end{aligned}$$

Aby nedošlo k nedorozumění o jaký skalární součin se jedná, užili jsme značení  $\langle \cdot, \cdot \rangle$  pro standardní skalární součin v  $\mathbb{R}^{n+1}$ , resp.  $\mathbb{R}^n$ , stejně jako v první kapitole.

Porovnáme-li  $\mathcal{J}(\Delta)$  prostřednictvím (3.22) s funkcionálem definovaným v Dodatku první kapitoly, zjistíme, že se rovnají až na multiplikativní konstantu. Jsou-li navíc splněny předpoklady Věty 3.2, platí dle zmíněného dodatku vztah pro směrovou derivaci  $\mathcal{J}'(\Delta; x_i)$  v bodě  $\Delta \in U_{ad}$  a ve směru  $x_i$  ( $i = 1, \dots, n-1$ ):

$$\mathcal{J}'(\Delta; x_i) = \langle \alpha(\Delta), \mathbf{A}'(\Delta; x_i) \alpha(\Delta) - 2F'(\Delta; x_i) \rangle. \tag{3.24}$$

## Kapitola 4

# Numerické experimenty

Úloha nalezení optimálního dělení intervalu byla naprogramována pro Úlohu 2.4 s následujícími daty:

- $(a, b) = (0, 1)$ ,
- $f(x) = x^\beta$ , pro  $\beta = 0.51, 0.65, 0.8$ ,
- $U_{ad} = U_\delta$  pro  $\delta = 10^{-4}, 10^{-5}, 10^{-6}$ , kde  $U_\delta$  je dána vztahem (3.2),
- $n = 2, 4, 8, 16, 32, 64, 128$ .

Zřejmě  $x^\beta = 0$  pro  $x = 0$  a  $\beta > 0$ . K tomu, aby funkce  $f(x) = x^\beta \in W^{1,2}(0, 1)$ , musí platit následující omezení na parametr  $\beta$ :

$$\begin{aligned}\|x^\beta\|_{X_2}^2 &= \int_0^1 ((x^\beta)')^2 dx = \beta^2 \int_0^1 x^{2\beta-2} dx < \infty \iff 2\beta - 2 > -1 \\ &\iff \beta > \frac{1}{2}.\end{aligned}$$

Potom  $f \in X_2$  a současně  $f \in X_1$ , navíc platí:

$$\begin{aligned}\|f\|_{X_1}^2 &= \int_0^1 x^{2\beta} dx = \frac{1}{2\beta + 1}, \\ \|f\|_{X_2}^2 &= \beta^2 \int_0^1 x^{2\beta-2} dx = \frac{\beta^2}{2\beta - 1}.\end{aligned}$$

Podle definice z předchozí kapitoly (viz. (3.1)), optimální dělení je dělení  $\widehat{\Delta}_n \in U_{ad}$  pro které:

$$\Phi(\widehat{\Delta}_n) = \min_{\Delta_n \in U_{ad}} \Phi(\Delta_n) = \min_{\Delta_n \in U_{ad}} \|f - g(\Delta_n)\|^2 = \|f\|^2 + \min_{\Delta_n \in U_{ad}} \mathcal{J}(\Delta_n),$$

kde funkcionál  $\mathcal{J}$  je dán předpisem (3.21), nebo ekvivalentně (3.23).

Nazveme veličinu  $\Phi(\Delta_n)$  chybou approximace na dělení  $\Delta_n \in U_{ad}$ .

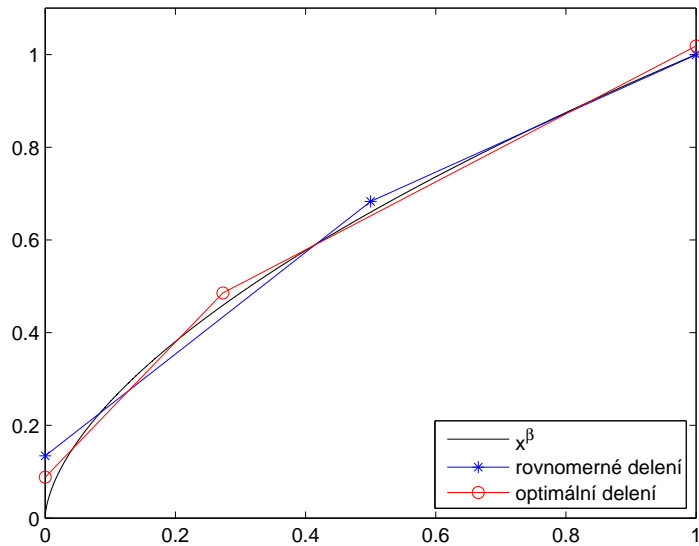
**Poznámka.** Jeden z praktických aspektů definice množiny  $U_{ad} := U_\delta$  je to, že sousedící uzly se nemohou dostat "příliš" blízko k sobě: jinak by se mohlo stát, že  $x_j \approx x_{j+1}$  a při sestavení matice  $\mathbf{A}(\Delta_n)$  na počítači bychom dostali chybové hlášení o dělení nulovou. Abychom se tomu vyhnuli, nabízí se definovat množinu  $U_{ad}$  právě vztahem (3.2), který navíc dovoluje uzlům dělení relativně velkou flexibilitu.

Co se týče vlastní realizace, numerické výsledky byly získány pomocí komerčního softwaru MATLAB®, přičemž k minimalizaci funkcionálu  $\mathcal{J}(\Delta_n)$  byla použita funkce *fmincon*. Ta je založena na kvazi-Newtonově metodě k nalezení vázaného extrému reálné funkce více proměnných. Pro bližší informace o použité funkci bychom čtenáře odkázali na online help, viz. stránky [3]. Zmíníme se však o jedné důležité vlastnosti funkce *fmincon*, a sice, že jako vstupní hodnotu jí můžeme předat gradient funkce  $\mathcal{J}$ . Tím usnadníme minimalizaci, protože díky jednoduchým tvarům matic  $\mathbf{A}'(\Delta_n; x_i)$  a vektorů  $F'(\Delta_n; x_i)$  je výpočet  $\mathcal{J}'(\Delta_n; x_i)$  podle (3.24) zcela nenáročný.

**Poznámka.** Vzhledem k tomu, jak je norma definována v prostorech  $X_1$  a  $X_2$ , očekáváme, že dělení bude "citlivější" v blízkosti nuly. Tedy uzly optimálního dělení se budou hromadit kolem nuly a to hlavně pro  $X = X_2$ , neboť tatáž funkce  $x^\beta$  má větší normu v  $X_2$ . Navíc lze předpokládat, že čím bude  $\beta$  blíže hraniční hodnotě  $\frac{1}{2}$ , tím razantnější bude přemisťování uzlů.

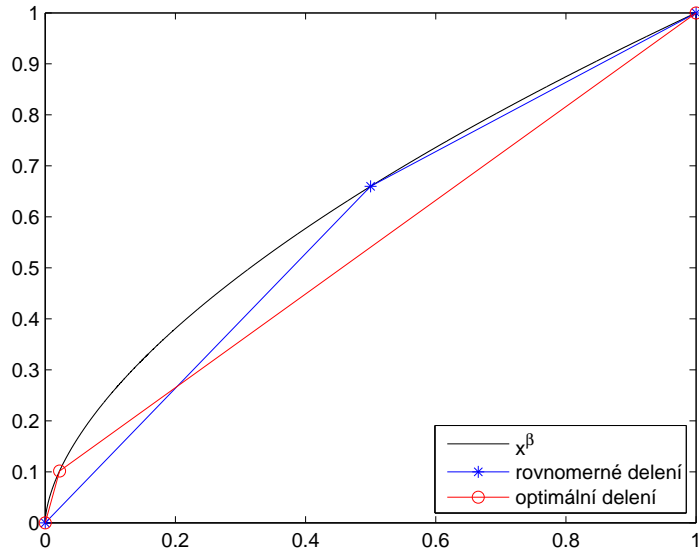
O tom, že tato intuice je správná, svědčí následující čtyři obrázky.

Aproximace funkce  $x^\beta$  po částech lineárními funkcemi v  $X_1$

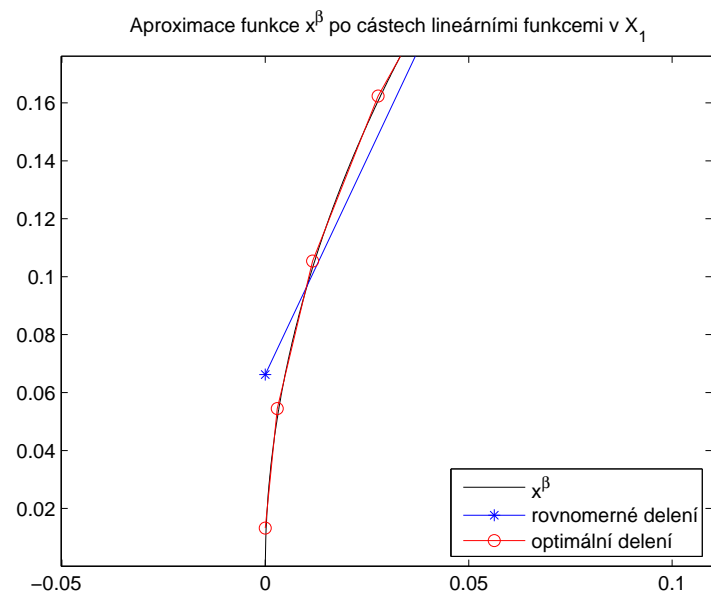


Obrázek 4.1:  $\beta = 0.65$ ,  $n = 2$ ,  $\delta = 10^{-5}$

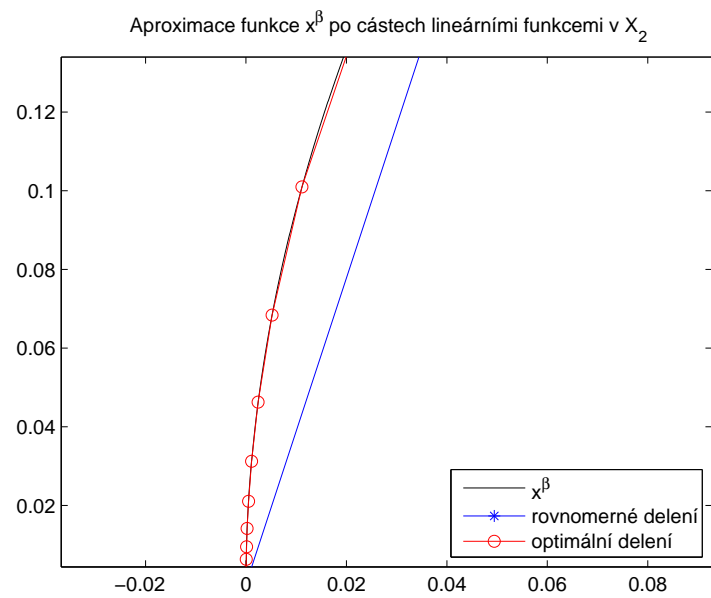
Aproximace funkce  $x^\beta$  po částech lineárními funkcemi v  $X_2$



Obrázek 4.2:  $\beta = 0.65$ ,  $n = 2$ ,  $\delta = 10^{-5}$



Obrázek 4.3:  $\beta = 0.51$ ,  $n = 16$ ,  $\delta = 10^{-5}$  (zvětšený)



Obrázek 4.4:  $\beta = 0.51$ ,  $n = 16$ ,  $\delta = 10^{-5}$  (zvětšený)

Zvolíme-li  $\beta$  z intervalu  $(\frac{1}{2}, 1)$ , bude funkce  $x^\beta$  příliš regulární, jakožto prvek  $L^2(0, 1)$  a proto nedostaneme podstatně lepší odhadu pomocí optimálního dělení: řád konvergence zůstává stejný, jako při approximaci na rovnoměrném dělení. Navíc ani posun uzlů není dostatečně markantní, proto jsou výsledky stejné pro  $\delta = 10^{-4}, 10^{-5}, 10^{-6}$ .

Chyby approximace na rovnoměrném a optimálním dělení jsou znázorněny v následujících tabulkách, resp. grafech.

Tabulka 4.1: Chyby approximace pro  $\beta = 0.51$  v  $X_1$

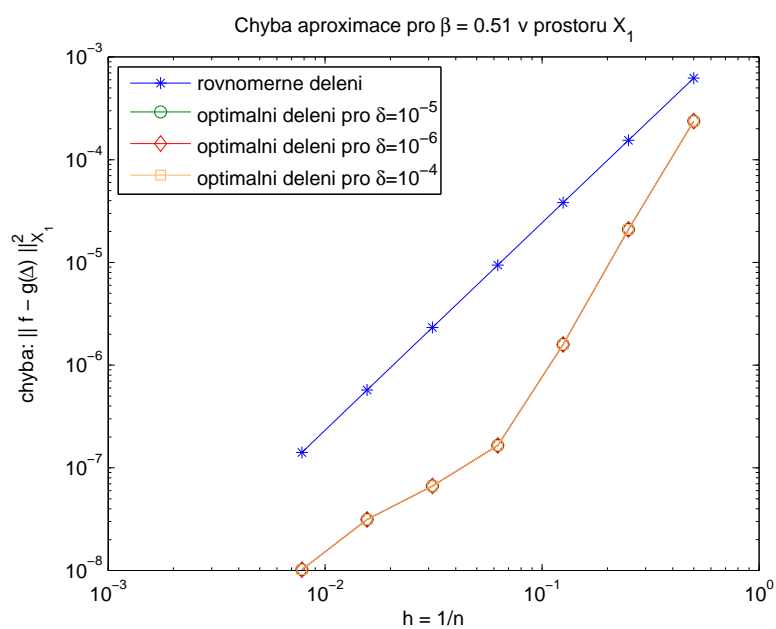
	rovnoměrné dělení	optimální dělení
$n = 2$	0.00062352225591	0.00023741975036
$n = 4$	0.00015489119360	0.00002096300694
$n = 8$	0.00003822152676	0.00000159113760
$n = 16$	0.00000942580440	0.00000016534591
$n = 32$	0.00000232413223	0.00000006664978
$n = 64$	0.00000057304132	0.00000003148067
$n = 128$	0.00000014128789	0.00000001021295

Tabulka 4.2: Chyby approximace pro  $\beta = 0.65$  v  $X_1$

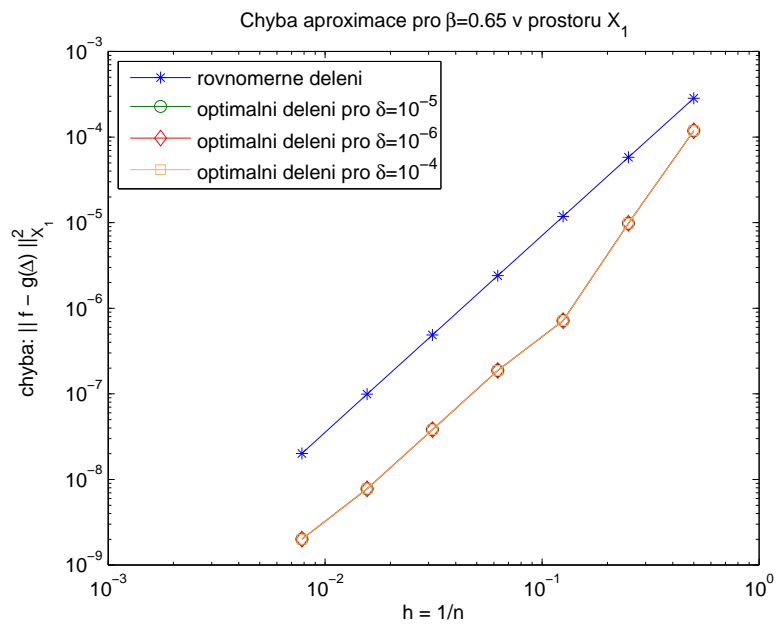
	rovnoměrné dělení	optimální dělení
$n = 2$	0.00028398398248	0.00011839512620
$n = 4$	0.00005823891027	0.00000982820914
$n = 8$	0.00001184946329	0.00000071893953
$n = 16$	0.00000240764332	0.00000018807677
$n = 32$	0.00000048899424	0.00000003828210
$n = 64$	0.00000009930233	0.00000000777939
$n = 128$	0.00000002016476	0.00000000200715

Tabulka 4.3: Chyby aproximace pro  $\beta = 0.8$  v  $X_1$

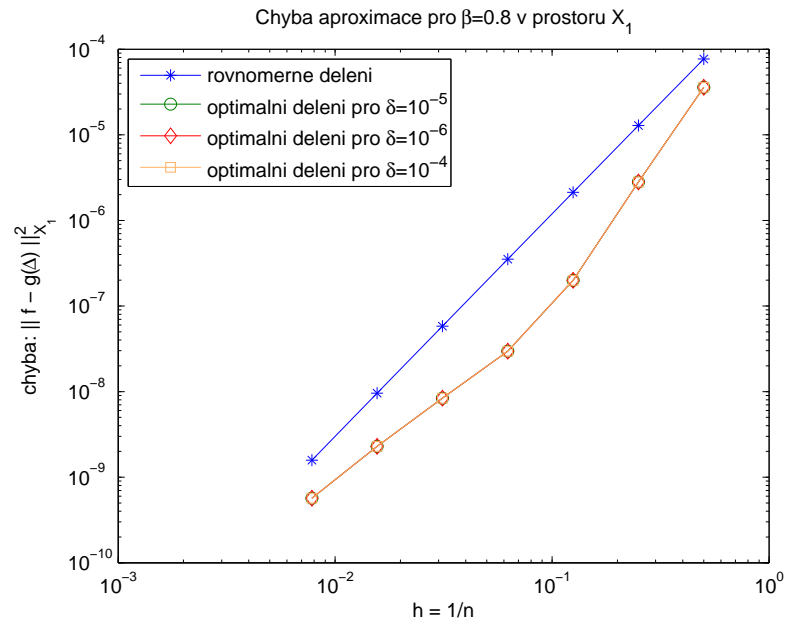
	rovnoramé dělení	optimální dělení
$n = 2$	0.00007678955287	0.00003583587987
$n = 4$	0.00001286030803	0.00000281719338
$n = 8$	0.00000213134063	0.00000019963875
$n = 16$	0.00000035217639	0.00000002964207
$n = 32$	0.00000005812711	0.00000000839131
$n = 64$	0.00000000958974	0.00000000228827
$n = 128$	0.00000000158130	0.00000000056859



Obrázek 4.5:  $\beta = 0.51$  v prostoru  $X_1$

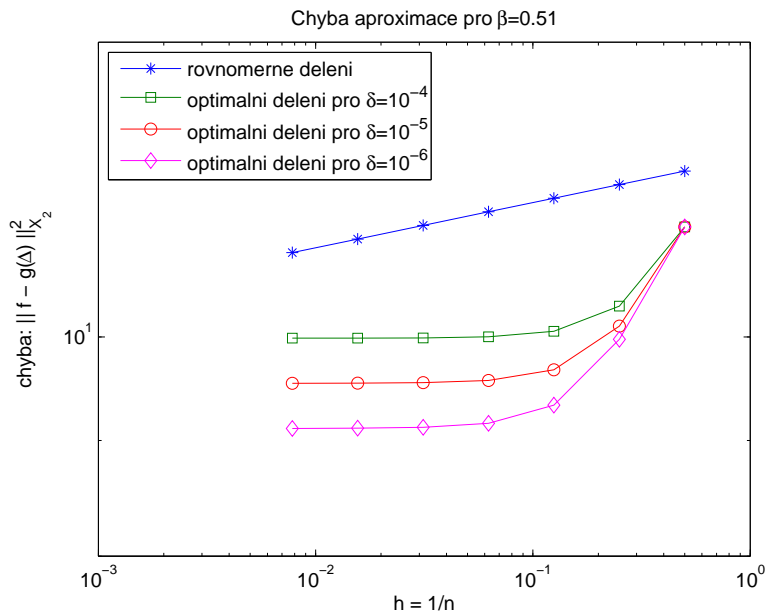


Obrázek 4.6:  $\beta = 0.65$  v prostoru  $X_1$

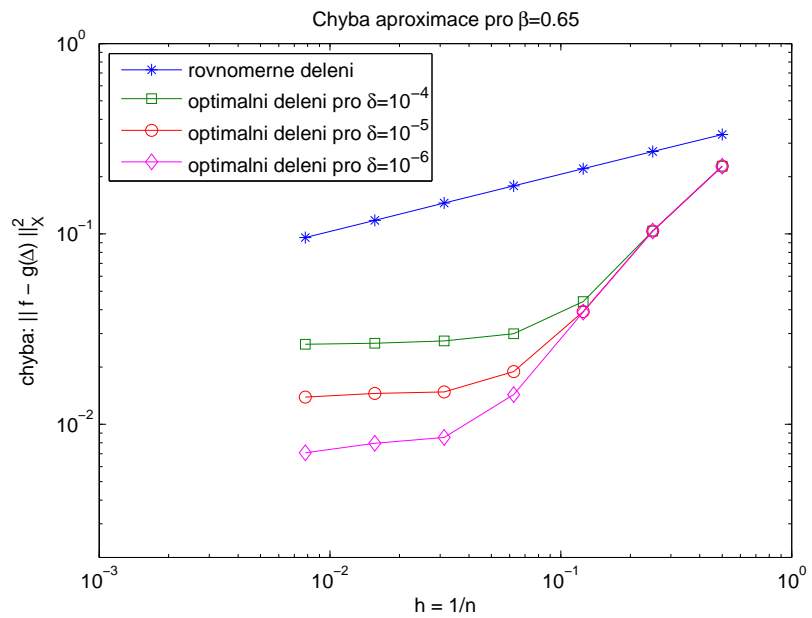


Obrázek 4.7:  $\beta = 0.8$  v prostoru  $X_1$

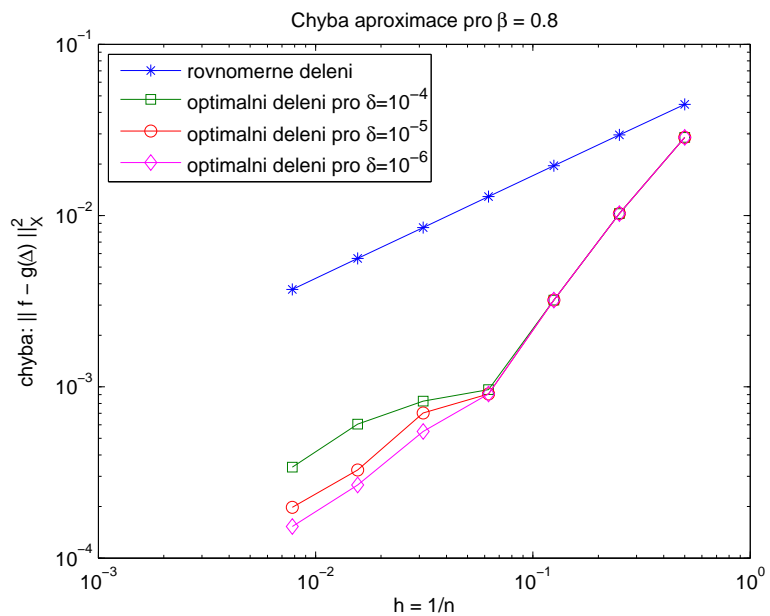
Provedeme-li nyní numerické testy pro stejné funkce  $x^\beta$  v prostoru  $X_2$ , můžeme spatřit více odlišností. Čím je  $\beta$  blíž  $\frac{1}{2}$ , tím je výraznější vliv volby množiny  $U_\delta$ . Pro menší  $\delta$  dostaneme zřejmě lepší approximace, neboť dovolujeme dělícím uzlům větší svobodu. Při aplikaci se ale brzy dostane podstatná část dělících bodů (tj. uzly, které jsou blíž místa, kde funkce je "citlivější")  $\delta$ -blízko k sobě a tím pádem chyba approximace klesá velmi pomalu. Jak je z obrázků dále patrné, nebude-li funkce  $x^\beta$  "příliš singulární", můžeme pomocí optimálního dělení zlepšit i řád konvergence.



Obrázek 4.8:  $\beta = 0.51$  v prostoru  $X_2$



Obrázek 4.9:  $\beta = 0.65$  v prostoru  $X_2$



Obrázek 4.10:  $\beta = 0.8$  v prostoru  $X_2$

Tabulka 4.4: Chyby approximace pro  $\beta = 0.51$  v  $X_2$

	rovnoměrné dělení	optimální dělení pro $\delta = 10^{-4}$	optimální dělení pro $\delta = 10^{-5}$	optimální dělení pro $\delta = 10^{-6}$
n = 2	11.84142434248926	11.18605046036190	11.18605046061797	11.18605046114404
n = 4	11.67886536296823	10.31909658421517	10.11170323189256	9.97703384738671
n = 8	11.51819867257026	10.05789955849110	9.67131147609378	9.32924686177665
n = 16	11.35965438404583	10.00169222054870	9.56693424926088	9.15879677302799
n = 32	11.20327021923588	9.99026332072150	9.54563082499027	9.12089220585063
n = 64	11.04903337691056	9.98876410943054	9.54025085888399	9.11394982021114
n = 128	10.89691854176243	9.98826042719646	9.54003432969108	9.11075572908037

Tabulka 4.5: Chyby aproximace pro  $\beta = 0.65$  v  $X_2$

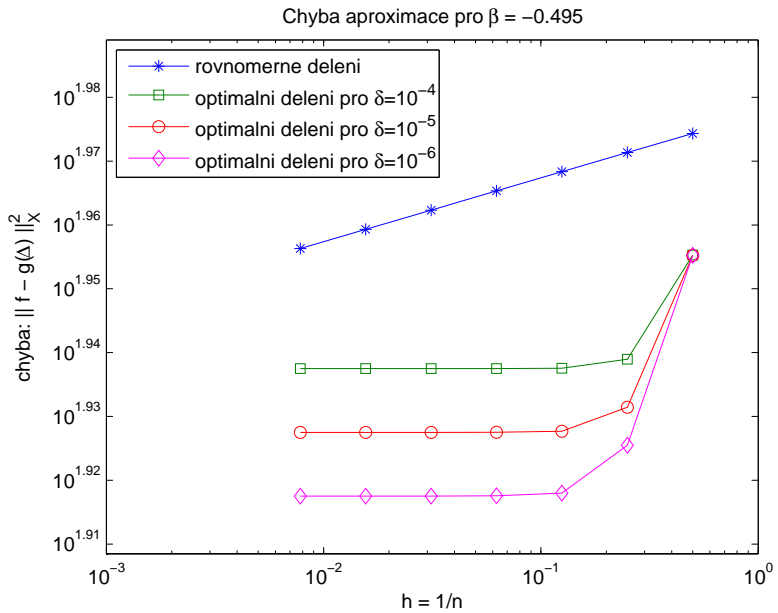
	rovnoměrné dělení	optimální dělení pro $\delta = 10^{-4}$	optimální dělení pro $\delta = 10^{-5}$	optimální dělení pro $\delta = 10^{-6}$
n = 2	0.33294979525939	0.22714505836206	0.22714505857262	0.22714505859395
n = 4	0.27078464305353	0.10352453452236	0.10352453821588	0.10352455266210
n = 8	0.22003387502107	0.04411350034908	0.03909053710078	0.03889509464718
n = 16	0.17874528277935	0.02990341114025	0.01894271227061	0.01432676352092
n = 32	0.14519185341497	0.02739967057967	0.01478576353340	0.00853886812035
n = 64	0.11793382371975	0.02665509616114	0.01453241547296	0.00795158144360
n = 128	0.09579237917629	0.02633895826365	0.01389864808287	0.00709512578625

Tabulka 4.6: Chyby approximace pro  $\beta = 0.8$  v  $X_2$ 

	rovnoměrné dělení	optimální dělení pro $\delta = 10^{-4}$	optimální dělení pro $\delta = 10^{-5}$	optimální dělení pro $\delta = 10^{-6}$
n = 2	0.0445546588784	0.02859997268447	0.02859997268262	0.02859997268245
n = 4	0.02954779147936	0.01027896703247	0.01027898905710	0.01027896849152
n = 8	0.01953303352185	0.00320644764743	0.00320643198422	0.00320643248219
n = 16	0.01289673544257	0.00096336625285	0.00090824488734	0.00090824839835
n = 32	0.00851111018095	0.00082557963985	0.00070296864441	0.00054840416250
n = 64	0.00561584829385	0.00060530244619	0.00032728215698	0.00026709560721
n = 128	0.00370523055880	0.00033983144021	0.00019789475206	0.00015289311169

Na Obrázcích 4.5 - 4.7 jsme viděli, jak se chová chyba aproximace na optimálním dělení pro regulární funkce v prostoru  $X_1$ . Ukážeme nakonec případ, kdy funkce  $x^\beta$  je dost singulární, tj.  $\beta$  je blízko hraniční hodnotě  $-\frac{1}{2}$ , neboť

$$x^\beta \in L^2(0, 1) \Leftrightarrow \beta > -\frac{1}{2}.$$



Obrázek 4.11:  $\beta = -0.495$  v prostoru  $X_1$

Tabulka 4.7: Chyby approximace pro  $\beta = -0.495$  v  $X_1$ 

	rovnoměrné dělení	optimální dělení pro $\delta = 10^{-4}$	optimální dělení pro $\delta = 10^{-5}$	optimální dělení pro $\delta = 10^{-6}$
n = 2	94.26226896784705	90.21543172644914	90.20521009650783	90.20521009933839
n = 4	93.61819670873123	86.88904963759668	85.39391948286800	84.23276243677036
n = 8	92.97156445667628	86.60683976229109	84.66151144353450	82.79267761821302
n = 16	92.32936299465104	86.59699600660819	84.62674967686891	82.71016414864283
n = 32	91.69159750118368	86.59662804575063	84.62599532011830	82.69942290926704
n = 64	91.05823737322737	86.59638536318295	84.62535248158771	82.69909706634400
n = 128	90.42925218308477	86.5963562627555	84.6252662115854	82.69896216938525

# Literatura

- [1] Haslinger J., Mäkinen R. A.: *Introduction to Shape Optimization: Theory, Approximation and Computation*, Advances in Design and Control, SIAM, 2003.
- [2] Lukeš J.: *Zápisky z funkcionální analýzy*, Nakladatelství Karolinum, 2003.
- [3] <http://www.mathworks.com/access/helpdesk/help/toolbox/optim/index.html?/access/helpdesk/help/toolbox/optim/ug/fmincon.html>